

# بررسی اثر دما بر عملکرد لیزرهای فیبری

مریم ایلچی<sup>۱</sup>، پرویز پروین<sup>۲</sup>، امین بابازاده<sup>۳</sup>، احمد کامکار<sup>۴</sup>

## چکیده:

در این مقاله، به بررسی تجربی اثر خنک‌سازی محیط بهره بر عملکرد لیزر فیبری و پارامترهای مختلف آن شامل توان خروجی، بازده، طول‌موج مرکزی و نیز پهنای باند طیفی پرداخته شده است. سامانه همدوس به کار گرفته شده، یک لیزر فیبری دوغلافی Yb:silica موج پیوسته تک مد با بیشینه توان خروجی ۱۰ W است که باریکه خروجی در قله ۱۰۸۲/۵۱ nm با پهنای طیفی ۱/۷ nm در دمای محیط را داراست. به منظور خنک‌سازی لیزر، محیط بهره فعال را به سهولت در یک ماده خنک‌کننده غوطه‌ور می‌کنیم. آزمایش‌ها در دمای اتاق ( $22/5^{\circ}\text{C}$ ) اجرا شده و نتایج آن با داده‌های حاصله از مخلوط سرماساز اتیلن گلیکول-یخ خشک (DIEG) در دمای  $29^{\circ}\text{C}$ ، یخ خشک ساچمه‌ای ( $58^{\circ}\text{C}$ ) و نیتروژن مایع (LN) در دمای  $189/2^{\circ}\text{C}$  در جریان‌های دمش متفاوت از ۱۰ A تا ۴۰ A مورد مقایسه قرار داده شده است. به این ترتیب، دستیابی به یک لیزر چند طول‌موجی با پهنای باند باریک، توسط لیزرهای فیبری کرایوژنیک امکان‌پذیر است.

**کلمات کلیدی:** خنک‌سازی لیزر فیبری، برداشت گرما، لیزرهای کرایوژنیک، مخلوط اتیلن گلیکول-یخ خشک، یخ خشک ساچمه‌ای، نیتروژن مایع.

## ۱. مقدمه

لیزرهای فیبری توان بالا به‌استثنای چند مورد خاص بیشتر از نوع فیبرهای دوغلافی آلاینده به فلزات خاکی نادر در بستر سیلیکا هستند که توسط چشمه‌های دیودی چند مدی دمیده می‌شوند. در بین آلاینده‌های مختلف، معمولاً ایتربیم (Yb) به دلیل ویژگی‌هایی چون بالا بودن طول عمر تراز تحریکی، حل‌پذیری خوب در سیلیکا، سادگی ساختار ترازهای انرژی و نیز پهن بودن

طیف جذب حتی در دماهای کرایوژنیک [۱]، اولین گزینه در محدوده توان‌های بالاست. به‌ویژه، نقص کوانتومی بین طول‌موج‌های دمش و لیزر [۲] در آن بسیار اندک است که این مسئله به افزایش بازده تا بیش از ۸۰٪ منجر می‌شود و یکی از پارامترهای اساسی در میزان گرمای تولیدشده [۳] است.

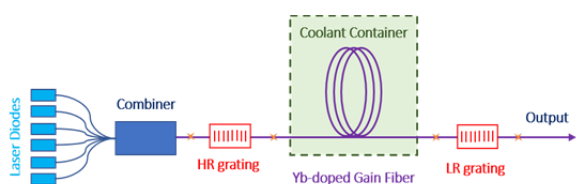
لیزرهای فیبری به دلیل دارا بودن ساختار هندسی خاص (بزرگ بودن نسبت سطح به حجم فیبر)، در توان‌های پایین نیاز چندانی به خنک‌سازی ندارند؛ اما افزایش دما در توان‌های بالا، اثرات مخربی همچون خود پالس زنی و عدسی شدن حرارتی [۴-۶] و یا استرس‌های ایجاد شده توسط پدیده دوشکستی را به دنبال دارد. همچنین، ویژگی‌های طیفی مواد میزبان از

۱) استادیار، پژوهشگاه علوم و فنون هسته‌ای، پژوهشکده لیزر و اپتیک. m.eilchi99@gmail.com

۲) استاد، دانشگاه صنعتی امیرکبیر، دانشکده مهندسی هسته‌ای و فیزیک. parvin@aut.ac.ir

۳) کارشناس، مرکز ملی علوم و فنون لیزر ایران

۴) کارشناس، مرکز ملی علوم و فنون لیزر ایران



شکل ۱: شمای چیدمان تجربی سامانه لیزر فیبری تحت خنک‌سازی محیط بهره

منبع دمش، یک لیزر دیودی در طول موج ۹۷۶ nm است که قابلیت تغییر جریان از ۱۰ A تا ۴۰ A را داراست. همچنین، محیط بهره لیزر به طول ۱۰ m از یک فیبر دوغلافی تک مد آلاییده به Yb با قطر هسته (غلاف) ۶ μm (۱۲۵ μm) ساخته شده است.

اندازه‌گیری‌های تجربی در چهار دمای متفاوت شامل دمای محیط (۲۲٫۵ °C)، دمای مخلوط خنک‌ساز DIEG (۲۹- °C)، یخ خشک (۵۸- °C) و LN (۰ °C) [۱۸۹، ۲-] اجرا شده است. ترکیب DIEG [۱۴-۱۵]، یک حمام تبریدی با ظرفیت خنک‌سازی بالا را ایجاد می‌کند که قادر است تعادل گرمایی را تا مدت زیادی حفظ نماید. این ترکیب، در واقع یک ژل در حال قلیان است که بسته به میزان بارگذاری یخ خشک، می‌توان دمای آن را از دمای محیط (۲۲٫۵ °C) تا ۳۰- °C تغییر [۱۶] داد.

### ۳. بحث و نتیجه‌گیری

ابتدا، اثر دما بر خروجی لیزر را مورد بررسی قرار می‌دهیم. برای این منظور، با تغییر جریان دمش ورودی از ۱۰ A تا ۴۰ A، تغییرات توان‌های خروجی لیزر را اندازه‌گیری می‌کنیم.

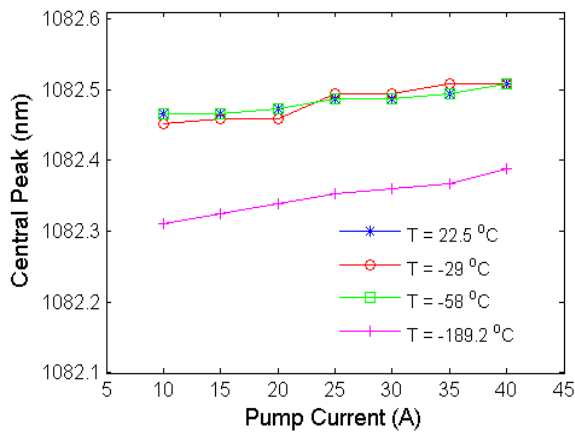
بر اساس داده‌های شکل ۲، کاهش دما از دمای محیط تا دمای یخ خشک، بازده لیزر را از ۳۰٪ تنها به میزان اندکی تغییر می‌دهد اما با کاهش بیشتر دما تا دمای LN، بازده به ۱۸٪ رسیده و با افت روبرو خواهد بود. دلیل این امر را می‌توان در وابستگی غیرخطی سطح

جنس شیشه‌های آمورف، به شدت تحت تأثیر دما [۷] قرار دارند؛ بنابراین، بدیهی است که باید از روش‌های گونه‌گون خنک‌سازی فعال و منفعل [۸-۱۱] به منظور برداشت گرمای اضافی استفاده کرد. در این میان، نیاز به لیزرهای فیبری تبریدی [۱۲] که در آن‌ها، محیط بهره در دماهای کرایوژنیک قرار دارد، در اولویت است. فراهم‌سازی دماهای پایین به کمک گازهای آبکی<sup>۱</sup> مانند آمونیاک (۲۴۰ K) گاز کربنیک مایع (۱۹۵ K)، متان (۱۱۱ K)، LN (۷۷ K)، نئون مایع (۲۷ K) و هلیوم مایع (۴ K) امکان‌پذیر است. خنک‌سازی، سبب کاهش ضریب بسط گرمایی و ضریب ترموپتیک، گرادیان دما [۱۳] و پهن‌شدگی ناشی از گرما می‌شود.

در این مقاله نشان می‌دهیم هرچند که در توان‌های پایین نیاز چندانی به خنک‌سازی لیزرهای فیبری نیست، اما به‌کارگیری روش‌های خنک‌سازی مناسب، تأثیر بسزایی بر عملکرد و پارامترهای مختلف لیزر خواهد گذاشت.

### ۲. چیدمان تجربی

در این آزمایش، از یک لیزر فیبری Yb:silica دوغلافی موج پیوسته با بیشینه توان خروجی ۱۰ W استفاده کردیم که باریکه سیگنال خروجی لیزر در قله ۱۰۸۲٫۵۱ nm با پهنای طیفی ۱٫۷ nm در دمای محیط (۲۲٫۵ °C) را داراست. به‌منظور خنک‌سازی لیزر، همانند شکل ۱، محیط بهره را به سهولت در یک ماده خنک‌کننده غوطه‌ور می‌کنیم. به‌این ترتیب، با خنک‌سازی فیبرهای آلاییده به Yb تا دماهای کرایوژنیک، جمعیت گرمایی ترازهای پایین لیزری به‌شدت کاهش می‌یابد.



شکل ۳: تغییرات قله مرکزی لیزر برحسب جریان دمش در دماهای متفاوت

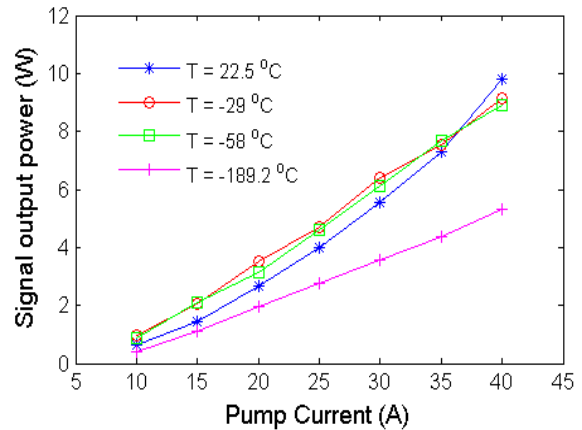
از نقطه نظر <sup>۱</sup>FWHM، همان‌طور که در شکل ۴ مشاهده می‌شود، کاهش دمای کاری سیستم تا  $-58\text{ }^{\circ}\text{C}$ ، مقدار FWHM سیگنال را افزایش می‌دهد در حالی که، در دماهای پایین‌تر، این روند کاملاً معکوس می‌شود. به‌ویژه، این تغییرات کاملاً تابع مقدار توان دمش بوده و در جریان‌های دمش پایین (A ۱۰) نزدیک به رژیم سیگنال کوچک، تفاوت چندانی میان عملکرد لیزر در دمای محیط با لیزرهای کرایوژنیک نیست.

به طور کلی، دستیابی به یک لیزر فیبری با پهنای باند باریک و توان خروجی بالا با خنک‌سازی محیط بهره تا دماهای کرایوژنیک در توان‌های دمش بزرگ‌تر امکان‌پذیر است.

دلیل این امر را می‌توان در تأثیر دما بر پهن‌شدگی طیف بهره جستجو کرد. در لیزر فیبری آلابیده به Yb در بستر سیلیکا، پهن‌شدگی غالب در دمای اتاق همگن است اما مقدار این پهنای در لیزرهای کرایوژنیک کاهش می‌یابد.

با خنک‌سازی مؤثر محیط بهره تا دماهای LN، نوسانات گرمایی و در پی آن جمعیت گرمایی کاهش می‌یابد و در نتیجه آن، تلفات بازجذب در طول موج سیگنال برای زیرلایه بالایی استارک کم می‌شود. لذا،

مقطع‌های جذب و گسیل و نیز طول عمر فلوئورسانس آن با دما دانست. به این ترتیب، با کاهش نرخ گسیل القایی، بهره  $(\gamma = \Gamma_s[\sigma_{es}N_2 - \sigma_{as}N_1])$  و در پی آن بازده لیزر با افت همراه خواهد بود. به علاوه، در این شرایط نقص کوانتومی افزایش پیدا می‌کند که به پیدایش اثر خودپالس‌زنی منجر شده و بازده را کاهش می‌دهد.

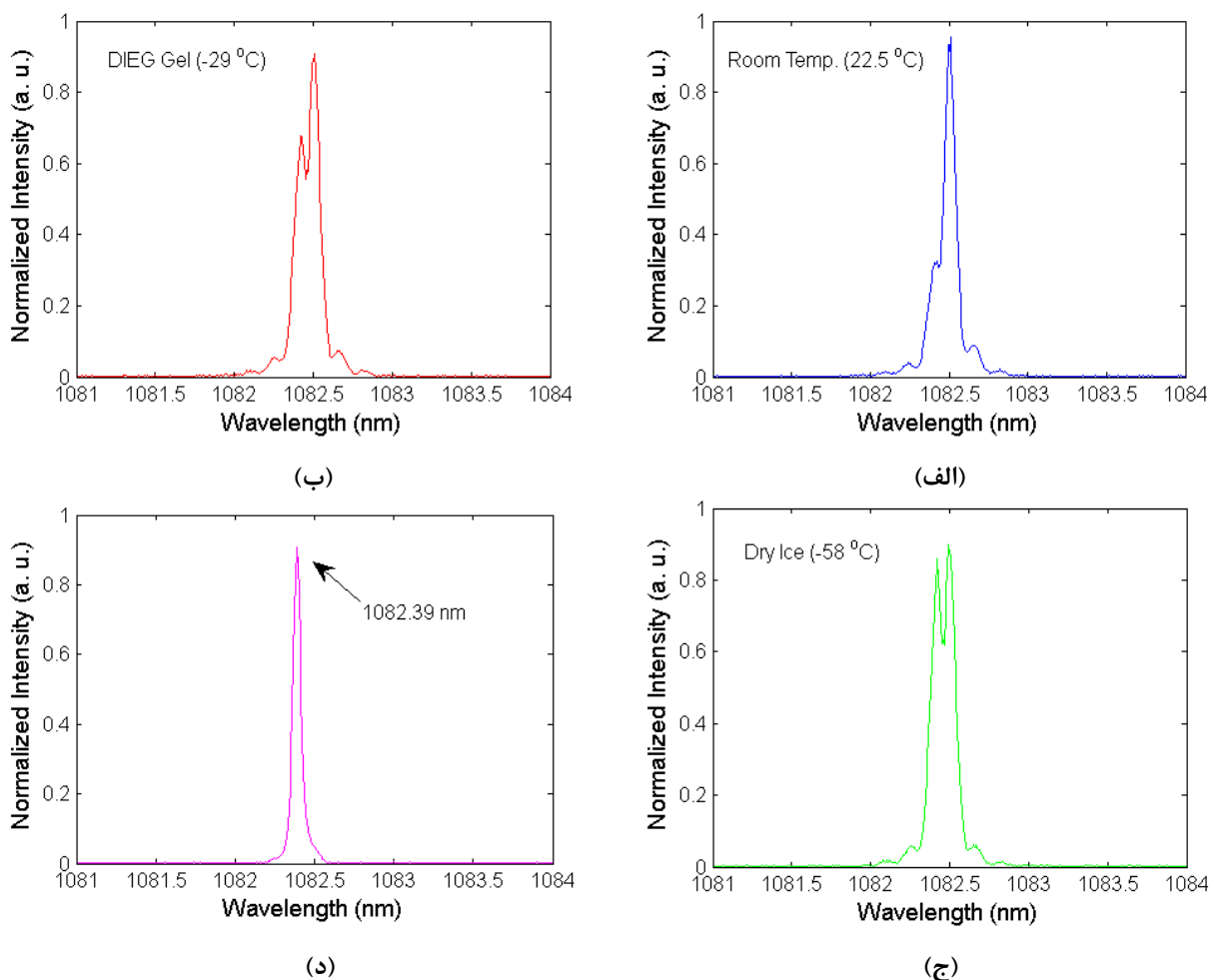


شکل ۴: تغییرات توان خروجی لیزر برحسب جریان دمش در دماهای متفاوت

اشاره به این نکته جالب توجه است که لیزر فیبری Yb:silica در دمای محیط به صورت یک سیستم شبه سه ترازوی با دو زیر لایه به فاصله جدایی  $8750\text{ cm}^{-1}$  در نظر گرفته می‌شود حال آنکه، در دماهای کرایوژنیک به صورت یک لیزر چهارترازی عمل می‌کند.

از سوی دیگر، طول موج قله مرکزی و پهنای باند لیزر نیز در همان شرایط قبلی ذکر شده توسط طیف نگار اندازه‌گیری شد. مطابق شکل ۳، با کاهش دمای کاری تا دمای  $-58\text{ }^{\circ}\text{C}$ ، طول موج قله مرکزی (۱۰۸۲٫۵۱ nm) تغییرات چندانی ندارد اما خنک‌سازی کرایوژنیک محیط بهره تا دمای  $-189.2\text{ }^{\circ}\text{C}$ ، قله لیزر را  $0.12\text{ nm}$  جابجا می‌کند. به ویژه، با افزایش توان دمش، شاهد افزایش تدریجی قله مرکزی لیزر خواهیم بود که در تمامی شرایط دمایی مختلف برقرار و تقریباً یکسان است.

1 Full width at half maximum

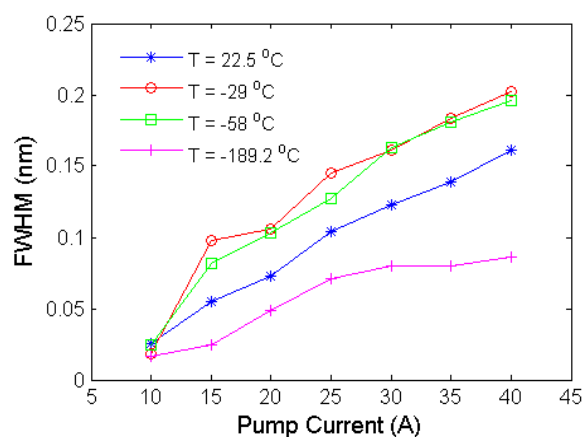


شکل ۵: طیف فلورسانس لیزر در (الف) دمای اتاق، (ب) ترکیب DIEG، (ج) یخ خشک و (د) LN با جریان دمش ۴۰ A

پهن‌شدگی گرمایی ترازها در دماهای کرایوژنیک کمینه خواهد بود.

شکل ۵، طیف فلورسانس لیزر در ۴ دمای مختلف با جریان دمش ۴۰ A را نشان می‌دهد. نمودارها حاکی از آن هستند که در دماهای اتاق، یخ خشک و دمای ترکیب سرماساز DIEG، لیزر در طول‌موج مرکزی ۱۰۸۲٫۵۱ nm نوسان می‌کند. در مقابل، در دمای LN، قله اصلی لیزر به سمت طول‌موج کوتاه‌تر ۱۰۸۲٫۳۹ nm سوق پیدا می‌کند.

به ویژه، در شرایطی که محیط بهره در معرض دمای کرایوژنیک  $-189.2^{\circ}\text{C}$  قرار می‌گیرد، تعداد خطوط نوسانی مطابق شکل ۶ به سه طول‌موج متمایز افزایش



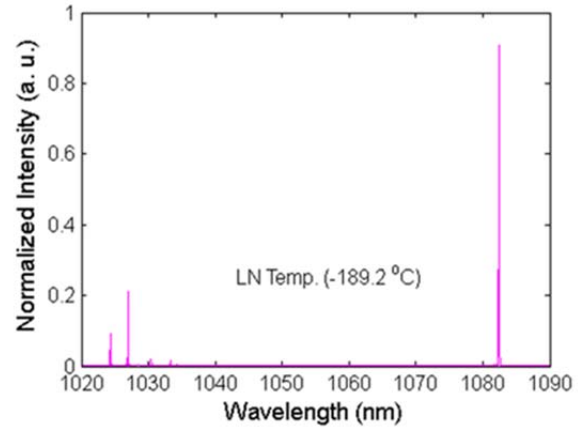
شکل ۴: تغییرات پهنای باند لیزر برحسب جریان‌های دمش در دماهای متفاوت

خروجی، بازده و ویژگی‌های طیفی در رژیم موج پیوسته در دماهای DIEG، یخ‌خشک و LN اندازه‌گیری شده و نتایج آن با داده‌های سامانه لیزری در دمای محیط مورد مقایسه قرار گرفته است. نتایج نشان می‌دهند که با کاهش دما، پارامترهای لیزر به صورت غیرخطی تغییر می‌کنند که این رفتار ناشی از تغییرات غیرخطی سطح مقطع‌های جذب و گسیل و به دنبال آن بهره لیزر با دماست. به علاوه، در دماهای پایین، پهن‌شدگی ناهمگن در لیزر فیبری کرایونیک چهارترازی غالب است که سبب کاهش پهنای باند طیفی لیزر خواهد بود. از سوی دیگر، کاهش جمعیت گرمایی و تلفات باز جذب، به جابه‌جایی قله اصلی لیزر به سمت طول‌موج‌های کوتاه‌تر و افزایش قله‌های نوسانی منجر خواهد شد.

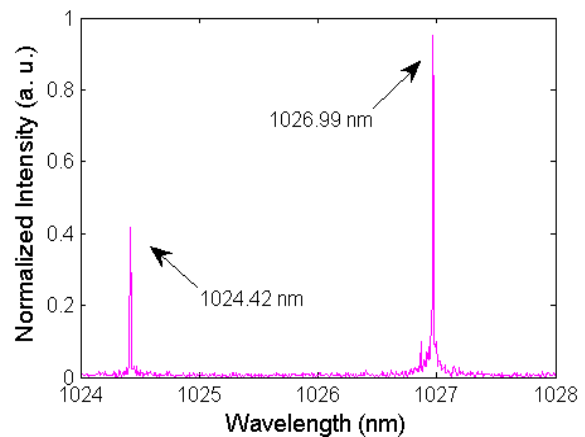
### مراجع

- [1] Fan Y., Roshan D. J., Aggarwal L., Ochoa J. R., Chann B., Tilleman M., Spitzberg J., Cryogenic Yb<sup>3+</sup>-Doped Solid-State Lasers, IEEE Journal of Selected Topics in Quantum Electronics, Vol. 13, No. 3, 2007, pp. 448–459.
- [2] Jeong Y., Vazquez-Zuniga L.A., Lee S.J., Choi G., Kwon Y., Kim Y., High-Power Fiber Lasers, IEEE 17<sup>th</sup> Opto-Electronics and Communications Conference. Busan, South Korea. NY, USA: IEEE., 2012, pp. 580–581.
- [3] Jeong Y., Nilsson J., Sahu J.K., Dupriez P., Codemard C.A., Soh D.B.S., Farrell C., Kim J., Richardson D.J., Payne D.N., High Power Fiber Lasers, In: CLEO/Pacific Rim, Optical Fiber Communication Conference; NY, USA: IEEE, 2005, pp. 1056–1058.

می‌یابد. به این ترتیب، علاوه بر قله اصلی لیزر، باندهای کناری در دو طول‌موج ۱۰۲۴/۴۲ nm و ۱۰۲۶/۹۹ nm با فاصله جدایی ۲/۵۷ nm نیز ظاهر می‌شوند.



(الف)



(ب)

شکل ۶: (الف) طیف فلئوئورسانس لیزر در دمای LN و (ب) باندهای کناری در جریان دمش ۴۰ A

همچنین، قله مرکزی در این حالت در ۱۰۸۲/۳۹ nm دیده می‌شود که نشان‌دهنده ۰/۱۲ nm جابه‌جایی آبی<sup>۱</sup> است.

### ۴. نتیجه‌گیری

در این مقاله به بررسی اثر دما بر عملکرد لیزر فیبری دوغلافی Yb در بستر سیلیکا پرداخته شده است. به این منظور، پارامترهای اصلی لیزر شامل توان

- [4] Jelger P., Seger K., Pasiskevicius V., Laurell F., Highly efficient temporally stable narrow linewidth cryogenically cooled Yb-fiber laser, *Opt. Exp.*, Vol. 17, No. 10, 2009, pp. 8433–8438.
- [5] Rothenberg J.E., Brosnan S.J., Epp P.T., High efficiency, high power cryogenic laser system, US Patent, Patent, No.: Us 7,466,731 B2, Dec. 2008.
- [6] Jelger P., High performance fiber lasers with spectral, thermal and lifetime control, PhD thesis, 2009.
- [7] Newell T.C., Peterson P., Gavrielides A., Sharma M.P., Temperature effects on the emission properties of Yb-doped optical fibers, *Opt. Commun.* Vol. 273, 2007, pp. 256–259.
- [8] Ashoori V., Malakzadeh A., Explicit exact three-dimensional analytical temperature distribution in passively and actively cooled high-power fibre lasers, *J. Phys. D. Appl. Phys.* Vol. 44, No. 35, 2011, pp. 1–6.
- [9] Bowman S.R., O'Connor S.P., Biswal S., Condon N.J., Rosenberg A., Minimizing Heat Generation in Solid-State Lasers, *IEEE J. Quantum. Elect.* Vol. 46, No. 7, 2010, pp. 1076–1085.
- [10] Bowman SR, Lasers without Internal Heat Generation, *IEEE J. Quantum. Elect.* Vol. 35, No. 1, 1999, pp. 115–122.
- [11] Ueda K., High Power Fiber Lasers, In: *CLEO/ Pacific Rim 4<sup>th</sup> Conference of Lasers and Electro-Optics*; Chiba, Japan. NY, USA: IEEE, 2001, pp. 486–487.
- [12] Steinborn R., Koglbauer A., Bachor P., Diehl T., Kolbe D., Stappel M., Walz J. A continuous wave 10 W cryogenic fiber amplifier at 1015 nm and frequency quadrupling to 254 nm, *Optics Express*, Vol. 21, No. 19, 2013, pp. 22693–22698.
- [13] Sumimura K., Yoshida H., Okada H., Fujita H., Nakatsuka M., Suppression of self pulsing in Yb-doped fiber lasers with cooling by liquid nitrogen, In: *Lasers and Electro-Optics – CLEO, Pacific Rim*, 2007, pp. 1–2.
- [14] Parvin P., Ilchi M., Modified Dry Ice Heat Exchanger for Heat Removal of Portable Nuclear Reactors, Non Provisional US Patent. Filing Date: 05/14/2012, Application No. US 13/470,547.
- [15] Ilchi M., Parvin P., Characterization of a Dry Ice Heat Exchanger"; *International Journal of Refrigeration*, Vol. 34, No. 3, 2011, pp. 1085–1097.
- [16] Lee D.W., Jensen C.M., Dry-Ice Bath Based on Ethylene Glycol Mixtures, *Journal of Chemical Education*, Vol. 77, No. 5, 2000, pp. 629.

